

**МЕХАНИКА
ТВЕРДОГО ТЕЛА
№ 1 • 1990**

УДК 539.374

© 1990 г.

А. Д. ДРОЗДОВ

ОБЪЕМНЫЙ РОСТ ВЯЗКОУПРУГИХ ТЕЛ

Получены определяющие соотношения теории объемного роста вязкоупругих тел, подверженных старению, при конечных деформациях. Дан анализ задач объемного роста прямолинейного стержня и цилиндрического сосуда. Численно и аналитически исследовано влияние притока материала на напряженно-деформированное состояние растущего тела.

1. Постановка задачи и основные уравнения. Вязкоупругое тело находится в недеформированном состоянии и занимает область Ω с кусочно-гладкой границей $\partial\Omega$. Введем в области Ω систему координат (ξ_1, ξ_2, ξ_3) . Координаты $\xi = (\xi_i)$ примем за лагранжевы координаты точек растущего тела. В момент времени $t=0$ к телу прикладываются массовые силы $F(t, \xi)$, поверхностные усилия $f(t, \xi)$ и начинается процесс объемного роста, который осуществляется на отрезке времени $[0, T]$. Под объемным ростом понимается процесс непрерывного притока вещества, за счет которого увеличивается масса элементов тела. Примером объемного роста является рост биологических объектов. Различные модели роста биологической ткани сформулированы в [1–5]. Согласно этим представлениям биологическая ткань (например, кость) представляет собой двухфазную среду, состоящую из твердого пористого каркаса и фильтрующейся жидкости. Жидкость обеспечивает приток к твердой фазе дополнительного вещества. За счет фильтрации жидкости и биохимических реакций происходит объемный рост (накопление) материала в твердой фазе. Предположим, что вещество в твердой и жидкой фазах несжимаемое и концентрация жидкости в элементе объема растущего тела постоянна. Пренебрегая смешением жидкости относительно твердой фазы, примем для описания процесса объемного роста соотношение

$$d/dt(V/V_0) = \beta(t, \xi) \quad (1.1)$$

Здесь $V_0(\xi)$ — объем элемента тела в окрестности точки ξ в начальной конфигурации, $V(t, \xi)$ — объем этого элемента в актуальной конфигурации в момент времени t , $\beta(t, \xi)$ — скалярная функция, характеризующая скорость притока вещества. Согласно (1.1) за время $d\tau$ к элементу тела присоединяется новый элемент, занимающий объем $dV(\tau, \xi) = \beta(\tau, \xi) V_0(\xi) d\tau$. Относительный объем присоединяемого элемента в момент времени t равен

$$\frac{dV(\tau, \xi)}{V(t, \xi)} = \frac{\beta(\tau, \xi)}{v(t, \xi)} d\tau, \quad v = 1 + \int_0^t \beta(\tau, \xi) d\tau \quad (1.2)$$

Пусть $S(t, \xi)$ — площадь поверхности элемента тела в момент времени t , $S_0(t, \xi)$ — площадь поверхности элемента тела, занятая исходным материалом, $dS(t, \tau, \xi)$ — площадь поверхности элемента тела, занятая веществом, которое присоединилось в момент времени τ . Примем стандартную для механики пористых сред [6] гипотезу о равенстве пористости и пропускности

$$S_0(t, \xi)/S(t, \xi) = V_0(\xi)/V(t, \xi), \quad dS(t, \tau, \xi)/S(t, \xi) = dV(\tau, \xi)/V(t, \xi) \quad (1.3)$$

Обозначим через $\sigma_0(t, \tau, \xi)$ тензор напряжений Коши в момент времени t в элементе материала, который присоединился в момент времени τ . Тензор напряжений Коши в растущем теле $\sigma(t, \xi)$ найдем из соотношений (1.2), (1.3) и равенства

$$\sigma(t, \xi)S(t, \xi) = \sigma_0(t, 0, \xi)S_0(t) + \int_0^t \sigma_0(t, \tau, \xi)\beta(\tau, \xi)d\tau$$

Имеем

$$\sigma(t, \xi) = \frac{1}{v(t, \xi)} \left[\sigma_0(t, 0, \xi) + \int_0^t \sigma_0(t, \tau, \xi)\beta(\tau, \xi)d\tau \right] \quad (1.4)$$

Для материала основного тела момент зарождения совпадает с моментом приложения внешней нагрузки, а естественная конфигурация совпадает с начальной. Для элемента, присоединяемого в момент времени τ , момент зарождения совпадает с моментом присоединения к растущему телу, а естественная конфигурация совпадает с актуальной конфигурацией в момент времени τ . Обозначим: $u(t, \xi)$ — вектор перемещения, $A(t, \xi) = E + \nabla u^T(t, \xi)$ — тензор градиента деформации при переходе из недеформированной в актуальную конфигурацию, $A_0(t, \tau, \xi) = A(t, \xi) \cdot A^{-1}(\tau, \xi)$ — тензор градиента деформации при переходе из актуальной конфигурации в момент времени τ в актуальную конфигурацию в момент времени t , E — единичный тензор, ∇ — оператор ковариантного дифференцирования в базисе актуальной конфигурации, T — символ транспонирования.

Механическое поведение вещества растущего тела в жидкой фазе описывается уравнением состояния идеальной жидкости, а в твердой фазе — уравнением состояния простого вязкоупругого тела [7]:

$$\sigma_{0f} = -pE, \quad \sigma_{0s} = -pE + s_0 \quad (1.5)$$

$$s_0(t, \tau, \xi) = A_0(t, \tau, \xi) \cdot \Phi(t - \tau, \xi, C_0(\tau_1, \tau, \xi)) \cdot A_0^T(t, \tau, \xi) \quad (\tau \leq \tau_1 \leq t)$$

Здесь p — давление, s_0 — девiator тензора напряжений Коши σ_{0s} , $C_0 = A_0^T \cdot A_0$ — мера деформаций Коши — Грина, Φ — оператор, отображающий симметричную тензорную функцию $C_0(\tau_1, \tau, \xi)$ на множество симметричных тензоров с нулевым первым инвариантом, который зависит от аргументов $t - \tau$ и ξ как от параметров.

Тензор напряжений Коши σ_0 в двухфазном материале определяется по формуле (η — концентрация вязкоупругого каркаса):

$$\sigma_0 = \eta\sigma_{0s} + (1-\eta)\sigma_{0f} = -pE + \eta s_0 \quad (1.6)$$

Предположим, что процессы приложения нагрузки и объемного роста происходят достаточно медленно и силами инерции можно пренебречь. Пусть ρ — плотность материала растущего тела. Уравнения состояния (1.4) — (1.6) совместно с уравнением равновесия $\nabla \cdot \sigma_0 + \rho F = 0$ и выражением для тензора градиента деформации A представляют собой систему определяющих соотношений для описания напряженно-деформированного состояния в растущем вязкоупругом теле при конечных деформациях. Если усилия f заданы на всей поверхности тела, то граничные условия имеют вид $n \cdot \sigma_0 = f$, где n — вектор единичной внешней нормали к поверхности тела в актуальной конфигурации.

2. Растижение растущего стержня. Рассмотрим объемный рост прямолинейного стержня из несжимаемого вязкоупругого материала. В недеформированной конфигурации длина стержня равна l , а площадь поперечного сечения Σ_0 . Введем декартову систему координат (x_1, x_2, x_3) , ось x_1 которой совпадает с продольной осью стержня. Единичные векторы декартовой системы координат обозначим e_1, e_2, e_3 . В момент времени $t=0$ торцы стержня прикладываются растягивающее усилие интенсивностью $P=P(t)$ и начинается процесс объемного роста. Боковая поверхность стержня свободна от нагрузки. Массовые силы отсутствуют. Элементарный объем стержня изменяется по закону (1.1), в котором функция $\beta =$

$\beta(t)$ не зависит от лагранжевых координат. Поведение материала стержня в твердой фазе подчиняется уравнению состояния вязкоупругого тела Трелоара [8, 9]:

$$\sigma_0 = -pE + \mu A_0 \cdot (I - Q) (E^{-1/3} J_0 C_0^{-1}) \cdot A_0^T \quad (2.1)$$

Здесь $\mu = \mu(t)$ — обобщенный модуль сдвига, J_0 — первый инвариант меры деформаций Коши — Грина C_0 , I — единичный оператор, Q — оператор релаксации с ядром $Q^\circ(t, \tau)$. Для любой функции $e(t)$ имеем

$$Ie = e(t), \quad Qe = \int_{\tau} Q^\circ(t-\tau, \tau_1-\tau) e(\tau_1) d\tau_1$$

При одноосном растяжении стержня декартовы координаты в актуальной конфигурации (X_1, X_2, X_3) определяются по формулам [10]:

$$X_1 = \alpha(t)x_1, \quad X_2 = \alpha_0(t)x_2, \quad X_3 = \alpha_0(t)x_3 \quad (2.2)$$

где $\alpha = \alpha(t)$, $\alpha_0 = \alpha_0(t)$ — подлежащие определению функции времени. Из соотношений (1.1) и (2.2) следует равенство $[\alpha(t)\alpha_0^2(t)]' = \beta(t)$, где точкой обозначена производная по времени. Интегрируя это соотношение с начальными условиями $\alpha(0)=1$, $\alpha_0(0)=1$, получим

$$\alpha(t)\alpha_0^2(t) = v(t), \quad v(t) = 1 + \int_0^t \beta(\tau) d\tau \quad (2.3)$$

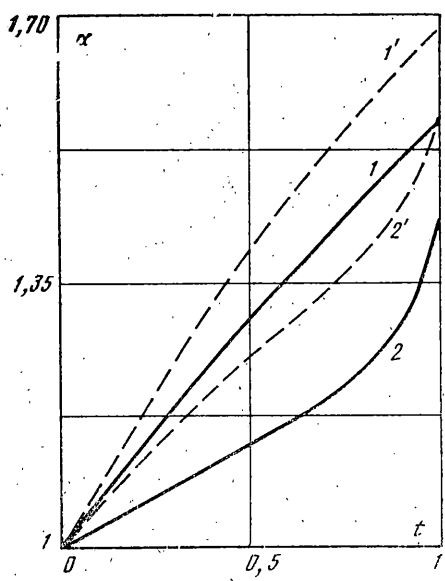
Согласно (2.2), (2.3) тензор $A_0(t, \tau)$ равен

$$A_0(t, \tau) = \frac{\alpha(t)}{\alpha(\tau)} e_1 e_1 + \left[\frac{v(t)\alpha(\tau)}{v(\tau)\alpha(t)} \right]^{1/2} (e_2 e_2 + e_3 e_3) \quad (0 \leq \tau \leq t)$$

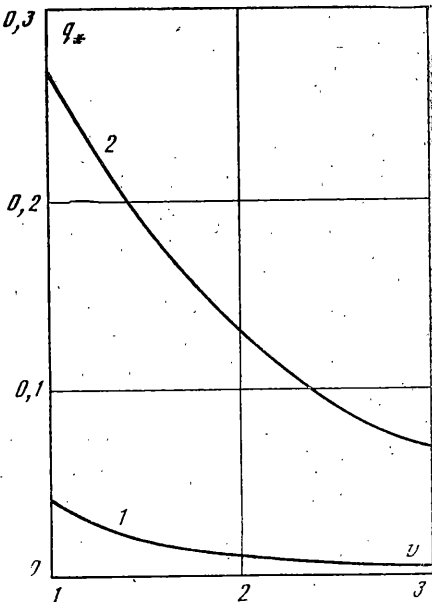
Подставим это выражение в уравнение состояния вязкоупругого материала (2.1). С помощью (1.4) — (1.6) найдем ненулевые физические компоненты тензора напряжений Коши $\sigma = \sigma_1 e_1 e_1 + \sigma_2 e_2 e_2 + \sigma_3 e_3 e_3$.

$$\begin{aligned} \sigma_1 &= -p + \frac{2}{3v(t)} \left\{ \mu_0(t)\alpha^2(t) \left[\left(1 - \frac{v(t)}{\alpha^3(t)}\right) - \int_0^t Q^\circ(t, \tau) \left(1 - \frac{v(\tau)}{\alpha^3(\tau)}\right) d\tau \right] + \right. \\ &\quad + \int_0^t \mu_0(t-\tau_1) \left(\frac{\alpha(t)}{\alpha(\tau_1)} \right)^2 \left[\left(1 - \frac{v(t)}{v(\tau_1)} \left(\frac{\alpha(\tau_1)}{\alpha(t)} \right)^3\right) - \right. \\ &\quad \left. \left. - \int_{\tau_1}^t Q^\circ(t-\tau_1, \tau-\tau_1) \left(1 - \frac{v(\tau)}{v(\tau_1)} \left(\frac{\alpha(\tau_1)}{\alpha(\tau)} \right)^3\right) d\tau \right] \beta(\tau_1) d\tau_1 \right\} \\ \sigma_2 = \sigma_3 &= -p + \frac{1}{3v(t)} \left\{ \mu_0(t) \frac{v(t)}{\alpha(t)} \left[\left(1 - \frac{\alpha^3(t)}{v(t)}\right) - \int_0^t Q^\circ(t, \tau) \left(1 - \frac{\alpha^3(\tau)}{v(\tau)}\right) d\tau \right] + \right. \\ &\quad + \int_0^t \mu_0(t-\tau_1) \frac{v(t)\alpha(\tau_1)}{v(\tau_1)\alpha(t)} \left[\left(1 - \frac{v(\tau_1)}{v(t)} \left(\frac{\alpha(t)}{\alpha(\tau_1)} \right)^3\right) - \right. \\ &\quad \left. \left. - \int_{\tau_1}^t Q^\circ(t-\tau_1, \tau-\tau_1) \left(1 - \frac{v(\tau)}{v(\tau_1)} \left(\frac{\alpha(\tau_1)}{\alpha(\tau)} \right)^3\right) d\tau \right] \beta(\tau_1) d\tau_1 \right\} \quad (\mu_0 = \eta\mu) \end{aligned} \quad (2.4)$$

Для определения величины p положим $\sigma_2 = \sigma_3 = 0$. Подставляя найденное выражение в (2.4), получим единственную ненулевую физическую компоненту тензора напряжений Коши. Выражения (2.4) удовлетворяют



Фиг. 1



Фиг. 2

уравнениям равновесия и граничным условиям на боковой поверхности стержня. Удовлетворим граничные условия на торцах стержня в интегральном смысле

$$P(t) = \int \sigma_1 dX_2 dX_3 = \sigma_1 \Sigma_0 v(t) / \alpha(t)$$

Из этого соотношения и (2.4) найдем ($P_* = P / (\mu_0(0) \Sigma_0)$):

$$\begin{aligned} P_*(t) \alpha(t) = & \frac{\mu_0(t)}{\mu_0(0)} \alpha^2(t) \left[\left(1 - \frac{v(t)}{\alpha^3(t)} \right) - \right. \\ & - \frac{1}{3} \int_0^t Q^\circ(t, \tau) \left(1 - \frac{v(\tau)}{\alpha^3(\tau)} \right) \left(2 + \frac{v(t)}{v(\tau)} \left(\frac{\alpha(\tau)}{\alpha(t)} \right)^3 \right) d\tau \Big] + \\ & + \int_0^t \frac{\mu_0(t-\tau_1)}{\mu_0(0)} \left(\frac{\alpha(t)}{\alpha(\tau_1)} \right)^2 \left[\left(1 - \frac{v(t)}{v(\tau_1)} \left(\frac{\alpha(\tau_1)}{\alpha(t)} \right)^3 \right) - \right. \\ & - \frac{1}{3} \int_{\tau_1}^t Q^\circ(t-\tau_1, \tau-\tau_1) \left(1 - \frac{v(\tau)}{v(\tau_1)} \left(\frac{\alpha(\tau_1)}{\alpha(\tau)} \right)^3 \right) \times \\ & \times \left. \left. \left(2 + \frac{v(t)}{v(\tau)} \left(\frac{\alpha(\tau)}{\alpha(t)} \right)^3 \right) d\tau \right] \beta(\tau_1) d\tau_1 \end{aligned} \quad (2.5)$$

При заданной функции $\beta(t)$ соотношение (2.5) представляет собой нелинейное интегральное уравнение для определения функции $\alpha(t)$. Для нестареющего упругого материала Трелоара ($\mu_0(t) = \mu_0$, $Q^\circ(t, \tau) = 0$) это соотношение эквивалентно интегродифференциальному уравнению

$$\begin{aligned} \dot{\alpha}(t) = & \left\{ P_*(t) \alpha(t) + \frac{\beta(t)}{\alpha(t)} \left[1 + \int_0^t \frac{\beta(\tau)}{v(\tau)} \alpha(\tau) d\tau \right] \right\} \times \\ & \times \left\{ 3\alpha(t) \left[1 + \int_0^t \frac{\beta(\tau)}{\alpha^2(\tau)} d\tau \right] - 2P_*(t) \right\}^{-1} \alpha(0) = 1 \end{aligned} \quad (2.6)$$

Для исследования влияния объемного роста на формирование напряженно-деформированного состояния проведем численное интегрирование уравнения (2.6) при $\beta(t) = \text{const}$, $T=1$, $P_* = t^m$. Графики зависимости $\alpha = \alpha(t)$ представлены на фиг. 1. Сплошные кривые соответствуют значению $\beta=1$, штриховые кривые – значению $\beta=2$. Кривые 1 и 1' получены при $m=1$, а кривые 2 и 2' – при $m=10$. Результаты расчетов свидетельствуют о существенном влиянии процесса роста и закона изменения во времени растягивающего усилия на коэффициент осевого удлинения стержня. При $m=1$ в конечный момент времени коэффициент осевого удлинения равен 1,56 при $\beta=1$ и 1,68 при $\beta=2$. Возрастание объема присоединяемого вещества приводит к увеличению коэффициента относительного осевого удлинения $\Delta = \alpha(1) - \alpha(0)$ на 22%. При $\beta=1$ в конечный момент времени коэффициент осевого удлинения равен 1,56 при $m=1$ и 1,45 при $m=10$. Уменьшение параметра m приводит к увеличению коэффициента относительного осевого удлинения Δ на 23%.

3. Задача Ламе для растущего цилиндра. Рассмотрим объемный рост полого цилиндра круглого поперечного сечения из несжимаемого вязкоупругого материала. В момент времени $t=0$ цилиндр находится под действием внутреннего давления $q(0)$. Длина цилиндра равна l , внутренний радиус поперечного сечения a_1 , внешний радиус a_2 . Введем в начальной конфигурации цилиндрическую систему координат (r, ϑ, z) , ось z которой совпадает с осью цилиндра. Единичные векторы цилиндрической системы координат обозначим e_r, e_ϑ, e_z . Деформация растущего тела осуществляется под действием давления $q=q(t)$, приложенного к внутренней боковой поверхности цилиндра. Внешняя боковая поверхность свободна от нагрузки. Массовые силы отсутствуют. Торцы цилиндра закреплены относительно продольного смещения. Элементарный объем цилиндра изменяется по закону (1.1), в котором функция $\beta=\beta(t)$ не зависит от лагранжевых координат. Поведение твердой фазы материала описывается уравнением состояния вязкоупругого тела Трелоара (2.1).

Под действием нагрузки в цилиндре реализуется осесимметричная деформация. Цилиндрические координаты в актуальной конфигурации (R, Θ, Z) выражаются через цилиндрические координаты в начальной конфигурации по формулам

$$R = \Psi(t, r), \quad \Theta = \vartheta, \quad Z = z \quad (3.1)$$

Здесь $\Psi(t, r)$ – подлежащая определению функция. Согласно (1.1) эта функция удовлетворяет уравнению $(\Psi\Psi'/r) = \beta(t)$, где штрих обозначает производную по r . Проинтегрируем это равенство по t , а затем по r . Учитывая начальное условие $\Psi(0, r) = r$, получим ($C(t)$ – неизвестная функция времени)

$$\Psi^2 = v(t)r^2 + C(t) \quad (3.2)$$

Из соотношений (3.1) и (3.2) следует, что тензор $A_0(t, \tau, r)$ равен

$$A_0(t, \tau, r) = \frac{v(t)\Psi(\tau, r)}{v(\tau)\Psi(t, r)} e_r e_r + \frac{\Psi(t, r)}{\Psi(\tau, r)} e_\vartheta e_\vartheta + e_z e_z \quad (0 \leq \tau \leq t) \quad (3.3)$$

Предположим, что для исходного цилиндра в начальный момент времени переход из естественной в начальную конфигурацию представляет собой осесимметричную деформацию. Цилиндрические координаты в естественной конфигурации (r^*, ϑ^*, z^*) выражаются через цилиндрические координаты в начальной конфигурации по формулам $r^* = \psi(r)$, $\vartheta^* = \vartheta$, $z^* = z$, где $\psi(r)$ – подлежащая определению функция. Из условия несжимаемости материала получим $\psi\psi' = r$. Интегрируя это равенство, найдем (c – неизвестная постоянная):

$$\psi^2 = r^2 + c \quad (3.4)$$

Для исходного тела тензор $A_0(t, 0, r)$ имеет вид

$$A_0(t, 0, r) = \frac{v(t)\psi(r)}{\Psi(t, r)} e_r e_r + \frac{\Psi(t, r)}{\psi(r)} e_\vartheta e_\vartheta + e_z e_z \quad (3.5)$$

Подставим выражения (3.3), (3.5) в уравнения состояния (1.4)–(1.6), (2.1). Найдем ненулевые физические компоненты тензора напряжений

Копии $\sigma = \sigma_r e_r e_r + \sigma_\theta e_\theta e_\theta + \sigma_z e_z e_z$:

$$\begin{aligned}
\sigma_r &= -p + \frac{1}{3v(t)} \left\{ \mu_0(t) \left[\left(2 \left(\frac{v(t)\psi(r)}{\Psi(t,r)} \right)^2 - \left(\frac{\Psi(t,r)}{\psi(r)} \right)^2 - 1 \right) - \right. \right. \\
&\quad - \int_0^t Q^\circ(t,\tau) \left(2 \left(\frac{v(\tau)\psi(r)}{\Psi(\tau,r)} \right)^2 - \left(\frac{\Psi(\tau,r)}{\psi(r)} \right)^2 - 1 \right) \left(\frac{v(t)\Psi(\tau,r)}{v(\tau)\Psi(t,r)} \right)^2 d\tau \Big] + \\
&\quad \left. \left. + \int_0^t \mu_0(t-\tau_1) \left[\left(2 \left(\frac{v(t)\Psi(\tau_1,r)}{v(\tau_1)\Psi(t,r)} \right)^2 - \left(\frac{\Psi(t,r)}{\Psi(\tau_1,r)} \right)^2 - 1 \right) - \right. \right. \\
&\quad - \int_{\tau_1}^t Q^\circ(t-\tau_1, \tau-\tau_1) \left(2 \left(\frac{v(\tau)\Psi(\tau_1,r)}{v(\tau_1)\Psi(\tau,r)} \right)^2 - \left(\frac{\Psi(\tau,r)}{\Psi(\tau_1,r)} \right)^2 - 1 \right) \times \\
&\quad \left. \left. \times \left(\frac{v(t)\Psi(\tau,r)}{v(\tau)\Psi(t,r)} \right)^2 d\tau \right] \beta(\tau_1) d\tau_1 \right\} \\
\sigma_\theta &= -p + \frac{1}{3v(t)} \left\{ \mu_0(t) \left[\left(2 \left(\frac{\Psi(t,r)}{\psi(r)} \right)^2 - \left(\frac{v(t)\psi(r)}{\Psi(t,r)} \right)^2 - 1 \right) - \right. \right. \\
&\quad - \int_0^t Q^\circ(t,\tau) \left(2 \left(\frac{\Psi(\tau,r)}{\psi(r)} \right)^2 - \left(\frac{v(\tau)\psi(r)}{\Psi(\tau,r)} \right)^2 - 1 \right) \left(\frac{\Psi(t,r)}{\Psi(\tau,r)} \right)^2 d\tau \Big] + \\
&\quad \left. \left. + \int_0^t \mu_0(t-\tau_1) \left[\left(2 \left(\frac{\Psi(t,r)}{\Psi(\tau_1,r)} \right)^2 - \left(\frac{v(t)\Psi(\tau_1,r)}{v(\tau_1)\Psi(t,r)} \right)^2 - 1 \right) - \right. \right. \\
&\quad - \int_{\tau_1}^t Q^\circ(t-\tau_1, \tau-\tau_1) \left(2 \left(\frac{\Psi(\tau,r)}{\Psi(\tau_1,r)} \right)^2 - \left(\frac{v(\tau)\Psi(\tau_1,r)}{v(\tau_1)\Psi(\tau,r)} \right)^2 - 1 \right) \times \\
&\quad \left. \left. \times \left(\frac{\Psi(t,r)}{\Psi(\tau,r)} \right)^2 d\tau \right] \beta(\tau_1) d\tau_1 \right\} \\
\sigma_z &= -p + \frac{1}{3v(t)} \left\{ \mu_0(t) \left[\left(2 - \left(\frac{v(t)\psi(r)}{\Psi(t,r)} \right)^2 - \left(\frac{\Psi(t,r)}{\psi(r)} \right)^2 \right) - \right. \right. \\
&\quad - \int_0^t Q^\circ(t,\tau) \left(2 - \left(\frac{v(\tau)\psi(r)}{\Psi(\tau,r)} \right)^2 - \left(\frac{\Psi(\tau,r)}{\psi(r)} \right)^2 \right) d\tau + \int_0^t \mu_0(t-\tau_1) \times \\
&\quad \times \left[\left(2 - \left(\frac{v(t)\Psi(\tau_1,r)}{v(\tau_1)\Psi(t,r)} \right)^2 - \left(\frac{\Psi(t,r)}{\Psi(\tau_1,r)} \right)^2 \right) - \int_{\tau_1}^t Q^\circ(t-\tau_1, \tau-\tau_1) \times \\
&\quad \times \left(2 - \left(\frac{v(\tau)\Psi(\tau_1,r)}{v(\tau_1)\Psi(\tau,r)} \right)^2 - \left(\frac{\Psi(\tau,r)}{\Psi(\tau_1,r)} \right)^2 \right) d\tau \right] \beta(\tau_1) d\tau_1 \Big] \quad (3.6)
\end{aligned}$$

Проинтегрируем уравнение равновесия $\partial\sigma_r/\partial R + (\sigma_r - \sigma_\theta)/R = 0$ по R в пределах от $\Psi(t, a_1)$ до $\Psi(t, a_2)$. Учитывая (3.2), (3.6) и граничные условия $\sigma_r|_{r=a_1} = -q(t)$, $\sigma_r|_{r=a_2} = 0$, получим

$$q(t) = \int_{a_1}^{a_2} \left\{ \mu_0(t) \left[\left(\left(\frac{\Psi(t,r)}{\psi(r)} \right)^2 - \left(\frac{v(t)\psi(r)}{\Psi(t,r)} \right)^2 \right) - \frac{1}{3} \int_0^t Q^\circ(t,\tau) \times \right. \right.$$

$$\begin{aligned}
& \times \left(\left(\frac{\Psi(t, r)}{\Psi(r)} \right)^2 \left(2 + \left(\frac{v(t)}{v(\tau)} \right)^2 \left(\frac{\Psi(\tau, r)}{\Psi(t, r)} \right)^4 \right) - \right. \\
& - \left(\frac{v(t) \Psi(r)}{\Psi(t, r)} \right)^2 \left(2 + \left(\frac{v(\tau)}{v(t)} \right)^2 \left(\frac{\Psi(t, r)}{\Psi(\tau, r)} \right)^4 \right) - \\
& - \left. \left(\frac{\Psi(t, r)}{\Psi(\tau, r)} \right)^2 \left(1 - \left(\frac{v(t)}{v(\tau)} \right)^2 \left(\frac{\Psi(\tau, r)}{\Psi(t, r)} \right)^4 \right) \right) d\tau + \\
& + \int_0^t \mu_0(t-\tau_1) \left[\left(\left(\frac{\Psi(t, r)}{\Psi(\tau_1, r)} \right)^2 - \left(\frac{v(t) \Psi(\tau_1, r)}{v(\tau_1) \Psi(t, r)} \right)^2 \right) - \right. \\
& - \frac{1}{3} \int_{\tau_1}^t Q^0(t-\tau_1, \tau-\tau_1) \left(\left(\frac{\Psi(t, r)}{\Psi(\tau_1, r)} \right)^2 \left(2 + \left(\frac{v(t)}{v(\tau)} \right)^2 \left(\frac{\Psi(\tau, r)}{\Psi(t, r)} \right)^4 \right) - \right. \\
& - \left. \left(\frac{v(t) \Psi(\tau_1, r)}{v(\tau_1) \Psi(t, r)} \right)^2 \left(2 + \left(\frac{v(\tau)}{v(t)} \right)^2 \left(\frac{\Psi(t, r)}{\Psi(\tau, r)} \right)^4 \right) - \right. \\
& - \left. \left. \left(\frac{\Psi(t, r)}{\Psi(\tau, r)} \right)^2 \left(1 - \left(\frac{v(t)}{v(\tau)} \right)^2 \left(\frac{\Psi(\tau, r)}{\Psi(t, r)} \right)^4 \right) \right) d\tau \right] \beta(\tau_1) d\tau_1 \} \frac{r dr}{\Psi^2(t, r)} \quad (3.7)
\end{aligned}$$

При заданной функции $\beta(t)$ соотношение (3.7) представляет собой нелинейное интегральное уравнение для определения функции $C(t)$. Для нестареющего упругого материала ($\mu_0(t)=\mu_0$, $Q^0(t, \tau)=0$) это соотношение упрощается и принимает вид ($q_* = q/\mu_0$, $D=C/v$):

$$\begin{aligned}
2q_*(t) = & \int_{a_1^2}^{a_2^2} \left\{ \left[1 - \left(\frac{x+c}{x+D(t)} \right)^2 \right] \frac{1}{x+c} + \right. \\
& + \left. \int_0^t \left[1 - \left(\frac{x+D(\tau)}{x+D(t)} \right)^2 \right] \frac{\beta(\tau) d\tau}{v(\tau) (x+D(\tau))} \right\} dx \quad (3.8)
\end{aligned}$$

Из соотношения (3.8) при $t=0$ следует равенство ($c_* = c/a_1^2$, $\kappa = a_1^2/a_2^2$):

$$2q_*(0) = \ln \left| \frac{1+\kappa c_*}{1+c_*} \right| - c_* (1-\kappa) \quad (3.9)$$

Задачу объемного роста цилиндра можно рассматривать как модельную задачу для описания роста крупных кровеносных сосудов. При этом величина q равна среднему артериальному давлению крови. Предположим, что течение крови описывается законом Пуазейля [11]. Условие сохранения постоянного расхода крови через сосуд имеет вид $q(t) \Psi^4(t, a_1) = q(0) a_1^4$. Из этого соотношения и (3.2) имеем ($D_* = D/a_1^2$):

$$q_*(t) = q_*(0) [v(t) (1+D_*(t))]^{-2} \quad (3.10)$$

Согласно (3.8), (3.10) функция $D_* = D_*(v)$ удовлетворяет системе уравнений

$$\begin{aligned}
\frac{dD_*}{dv} = & -\frac{1}{v} \left\{ \frac{1}{1+D_*} + \frac{(1-\kappa)v^2(1+D_*)}{2q_*(0)(1+\kappa D_*)} \times \right. \\
& \times \left. \left[(1+\ln v) + D_{1*} \frac{1/2(1+\kappa) + \kappa D_*}{(1+D_*)(1+\kappa D_*)} \right] \right\}^{-1} \quad (3.11)
\end{aligned}$$

$$dD_{1*}/dv = -(1+\ln v) dD_*/dv$$

$$D_*(1) = 0, \quad D_{1*}(1) = c_*$$

Для исследования влияния объемного роста сосуда на артериальное давление крови проведем численное интегрирование уравнений (3.11) при $a_1=0,9$, $a_2=3$. Графики зависимости давления от относительного объема присоединившегося ве-

щества $q_* = q_*(v)$ представлены на фиг. 2. Кривая 1 соответствует значению $q_*(0) = 0,04$. ($c_* = -0,1$), а кривая 2 – значению $q_*(0) = 0,27$ ($c_* = -0,5$). Результаты расчетов свидетельствуют о существенном влиянии притока вещества на артериальное давление. Для малой интенсивности начального давления ($q_*(0) = 0,04$) при увеличении массы сосуда в 3 раза давление уменьшается в 7,82 раза. Возрастание начального давления приводит к ослаблению влияния процесса роста на артериальное давление. Для большой интенсивности начального давления ($q_*(0) = 0,27$) при увеличении массы сосуда в 3 раза артериальное давление уменьшается в 3,97 раза.

Автор выражает глубокую благодарность Е. Ш. Штенгольду за полезные обсуждения.

СПИСОК ЛИТЕРАТУРЫ

1. Cowin S. C., Hegedus D. H. Bone remodelling. 1. Theory of adaptive elasticity // J. Elast. 1976. V. 6. No 3. P. 313–325.
2. Cowin S. C., Van Buskirk W. C. Internal bone remodelling induced by a medullary pin // J. Biomech. 1978. V. 11. No 5. P. 269–275.
3. Штейн А. А. О континуальных моделях растущего материала // Механика композитных материалов. 1979. № 6. С. 1105–1110.
4. Регирер С. А. О моделях биологических сплошных сред // ПММ. 1982. Т. 46. Вып. 4. С. 531–542.
5. Мелихов А. В., Регирер С. А., Штейн А. А. Механические напряжения как фактор морфогенеза // Докл. АН СССР. 1983. Т. 271. № 6. С. 1341–1344.
6. Николаевский В. Н., Басниев К. С., Горбунов А. Т., Зотов Г. А. Механика насыщенных пористых сред. М.: Недра, 1970. 335 с.
7. Трусделл К. Первоначальный курс рациональной механики сплошных сред. М.: Мир, 1975. 592 с.
8. Адамов А. А. Об идентификации модели наследственной вязкоупругости при ко нечных деформациях // Структурная механика неоднородных сред. Свердловск: Изд-е УНЦ АН СССР, 1982. С. 8–11.
9. Адамов А. А., Санников Л. С., Селиванов Е. И. Вязкоупругая реакция цилиндра из резины при сложном многопараметрическом нагружении // Краевые задачи упругих и неупругих систем. Свердловск: Изд-е УНЦ АН СССР, 1985. С. 32–36.
10. Лурье А. И. Нелинейная теория упругости. М.: Наука, 1980. 512 с.
11. Landau L. D., Lifshitz E. M. Теоретическая физика. Т. 6. Гидродинамика. М.: Наука, 1986. 736 с.

Москва

Поступила в редакцию
15.11.1988